

Системи приводів. Технологія і обладнання машинобудівного виробництва. Мехатроніка

УДК 529.735.064

Г.Й. Зайончковський, д-р техн. наук

Національний авіаційний університет, м. Київ, Україна

ОЦІНКА ДИНАМІЧНИХ І ПРОТИФЛАТТЕРНИХ ВЛАСТИВОСТЕЙ ГІДРОМЕХАНІЧНИХ СЛІДКУЮЧИХ РУЛЬОВИХ ПРИВОДІВ СИСТЕМ КЕРУВАННЯ ЛІТАКІВ

Приведены результаты исследований динамических и противофлаттерных свойств следящих рулевых приводов, которые применяются в системах управления современных самолетов. Разработана универсальная математическая модель работы рулевого привода в системе штурвального управления самолетом, в которой учитывается сжимаемость рабочей жидкости в полостях цилиндра привода, его кинематическая схема, а также упругость силовой проводки управления и опоры крепления привода к конструкции планера. На основании линеаризации исходной нелинейной математической модели работы одноканального гидромеханического следящего рулевого привода получены передаточные функции самого привода и его разомкнутого контура. Получена аналитическая формула для оценки критической доброкачности рулевого привода, превышение которой приводит к возникновению автоколебаний в силовом контуре системы управления.

It is brought results over of researches of dynamic and antiflutter properties of rudder drives which are used in the control systems of modern airplanes. The universal model of the servodrive action in the airplane control system with taking into account of the working liquid compressibility into the hydrodrive cylinder chambers, of its kinematic scheme, of the control system guide elasticity and of the hydrodrive fixing to the airplane structure are shown. Based on the linearization of the original nonlinear mathematical model of the single-channel hydro-mechanical steering servo drive, transfer functions of the drive itself and its open loop. The analytical formula for estimating the critical quality factor was obtained; excess of the latter leads to self-excited oscillations in the power line of control system.

Актуальність досліджень

Гідромеханічні слідкуючі приводи широко застосовуються у бустерних системах керування сучасних літальних апаратів (ЛА) як рульові приводи (РП) аеродинамічних поверхонь керування [1–6]. Їх основною функцією є забезпечення відхилення на необхідний кут рульових поверхонь літака з необхідною швидкістю, додаючи значні аеродинамічні навантаження.

Особливістю їх роботи є обмежена жорсткість опори кріплення і відносно невеликі сили демпфірування, що у поєднанні з масовими (інерційними) навантаженнями часто призводить до втрати стійкості привода або виникнення слабо затухаючих коливальних процесів у силовому контурі системи керування ЛА [1, 7–10]. Тому забезпечення необхідних динамічних властивостей, у тому числі потрібних запасів стійкості гідромеханічних слідкуючих рульових приводів (бустерів) є актуальною задачею при проектуванні системи керування літака. Для її вирішення у низці випадків до силового контуру системи керування літака встановлюється спеціальний демпфер [2]. Істотним недоліком такого рішення цієї задачі є ускладнення системи, збільшення її маси і складності

забезпечення стійкості рульових приводів у разі відмови демпфера. У зв'язку з цим останнім часом забезпечення необхідних запасів стійкості рульових приводів здійснюється шляхом вибору раціональної кінематичної схеми привода і оптимізації його основних параметрів.

У системах керування сучасних літаків на гідромеханічні рульові приводи накладаються також додаткові функції гасіння флаттерних коливань рульових поверхонь [1, 8]. Визначення противофлаттерних властивостей рульових приводів різних кінематичних схем потребує додаткових досліджень і є актуальним.

Задачі досліджень

При проведенні даних досліджень вирішувалися наступні задачі:

1. На основі аналізу математичної моделі роботи рульового привода у системі штурвального керування літака провести оцінку впливу його кінематичної схеми і параметрів силового контуру бустерної системи керування на стійкість і динамічні властивості привода.

2. Розробити математичну модель динамічної жорсткості гідромеханічного слідкуючого рульово-

го привода і на її основі дослідити протифлатерій властивості рульових приводів різних кінематичних схем.

3. Розробити рекомендації по забезпеченням необхідних запасів стійкості й протифлатерій властивостей гідромеханічних спідкуючих рульових приводів, встановлених у системах керування сучасних літаків.

Математична модель роботи гідромеханічного спідкуючого привода у системі штурвального керування літака

У першому наближенні, достатньому для інженерних досліджень характеристик тілоремеханічного спідкуючого рульового привода системи керування літака, математичний опис його роботи може бути виконано з використанням диференціальних рівнянь із зосередженими параметрами.

При розробці математичної моделі роботи привода звичайно приймають такі припущення:

- є симетрія напірних і зливників кромок золотникового розподільника рульових приводів;

- поршень привода знаходиться у середньому положенні циліндра положенії;

- відсутні знофти в кріпленні РП до опори, у силовій проводці керування між ним і рульовою поверхнею, а також в проводці керування золотниковим розподільником;

- гиск паціння і зливу в системі гідроживлення привода підтримується постійним;

- коефіцієнт пружності робочої рідини у порожнинах гідроциліндра РП у межах зміни робочого тиску зберігає своє середнє значення;

- плавалтаження на вихідний шток РП не перевищують гранично допустимих, тобто перепад тиску на поршні не перевищує при будь-яких режимах роботи привода тиску гідроживлення, підвищеного до рульового привода;

- хвилюві процеси у порожнинах силового циліндра РП не враховуються;

- сили, які діють у золотниковому розподільному кріпленні РП, малі у порівнянні з зусиллям керування і жорсткістю вхідної проводки керування і не впливають на динаміку рульових приводів.

Як об'єкт дослідження розглянемо дві типові кінематичні схеми одноканальних гідромеханічних спідкуючих рульових приводів, що зможуть піти на застосування у системах штурвального керування (ШК) сучасних літаків [1, 3, 5] (рисунок 1).

З урахуванням цієї схеми робота одноканальних рульових приводів, що розглядаються, в СНК літака може бути описана наступною системою нелінійних диференціальних рівнянь [1, 8—10]:

а) рівняння руху приведеної маси рульової поверхні

$$m\ddot{z} + h\dot{z} + T_{\text{tp}} \operatorname{sign} \dot{z} + C_w z - R_{\text{зовн}} = C_{\text{пр}}(y - z); \quad (1)$$

б) рівняння руху вихідної ланки рульових приводів (вихідного штока для схеми б і корпусу привода для схеми а)

$$m_1\ddot{y} + k_B(\dot{y} - \dot{u}) + T'_{\text{tp}} \operatorname{sign}(\dot{y} - \dot{u}) + C_{\text{пр}}(y - z) = F p_{\text{дв}}; \quad (2)$$

в) рівняння деформації опор кріплення рульового привода

$$m_2\ddot{u} + k_B(\dot{u} - \dot{y}) + T'_{\text{tp}} \operatorname{sign}(\dot{u} - \dot{y}) + C_0 u = -F p_{\text{дв}}; \quad (3)$$

г) узагальнене рівняння перозривності потоку рідини

$$F(\dot{y} - \dot{u}) + k_C \dot{p}_{\text{дв}} + k_{\text{вніт}} p_{\text{дв}} = k_Q(u) \sqrt{1 - \frac{p_{\text{дв}}}{p_u - p_{\text{зл}}} \operatorname{sign} \varepsilon}; \quad (4)$$

д) рівняння несупорядженості на золотнику

$$\varepsilon = k_{33}(k_{\text{пер}} x_{\text{вх}} - y) + k_{\text{д.о.}} u, \quad (5)$$

де m — маса рульової поверхні літака і частини віднесеної до неї силової проводки керування, при-

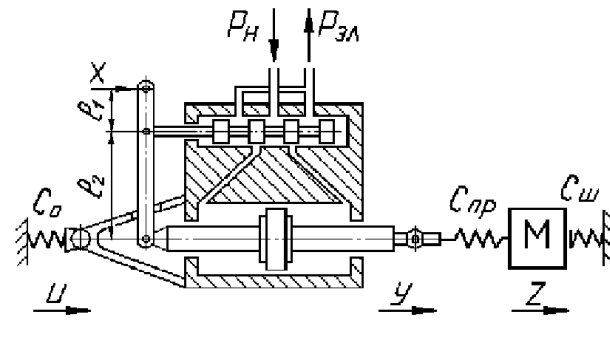
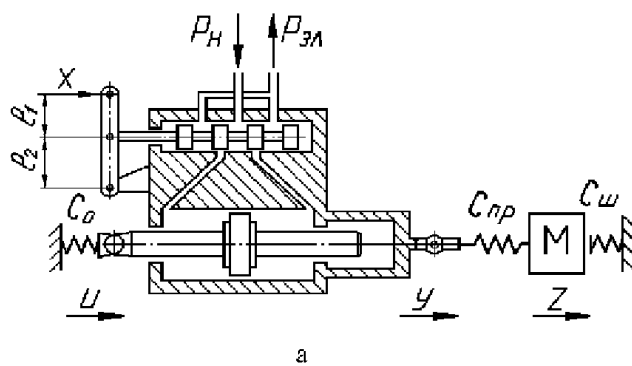


Рисунок 1 — Кінематичні схеми гідрравлічних спідкуючих рульових приводів:

а — привод із золотниковим розподільником у рухомому корпусі; б — привод з оберненою кінематикою; x — переміщення вхідної ланки привода; y — переміщення вихідної ланки привода; u — переміщення (деформація) опори кріплення привода; C_0 — жорсткість опори кріплення привода до конструкції літака; ℓ_1 , ℓ_2 — плечі качалок вхідної кінематики; p_u — тиск нагнітання; $p_{\text{зл}}$ — тиск зливу

веденій до напрямку руху вихідної ланки РП; m_1 — приведена маса вихідної ланки РП; m_2 — приведена маса конструкції РП, що пов'язана з опорою його кріплення; $C_{\text{пр}}$ — приведена жорсткість силової проводки системи керування між вихідною ланкою рульового привода і рулем; C_0 — жорсткість опори кріплення рульового привода; C_m — коефіцієнт шарнірного (аеродинамічного) навантаження; z — координата, що визначає положення маси m ; y — вихідна координата рульового привода; u — координата, що визначає деформацію опори кріплення РП; x_m — переміщення вихідної качалки РП; F — ефективна площа порівня РП; h — коефіцієнт демпфірування сил в'язкого тертя; $T_{\text{сп}}$ — сила сухого тертя у вузлах підвіски РП і у силовій проводці керування; $R_{\text{зовн}}$ — зовнішні (аеродинамічні) сили, що діють на рульову поверхню, приведені до координати z ; k_d — коефіцієнт демпфірування сил в'язкого тертя у РП; $T'_{\text{сп}}$ — сили сухого тертя в РП; $p_{\text{дв}}$ — перепад тиску на поршні РП; $p_{\text{з}}$ — тиск пагутання, підвищений до РП; $p_{\text{з}}$ — тиск зливу на вихіді з РП; ε — неузгодженість на золотнику РП; k_e — приведений коефіцієнт пружності робочої рідини у порожнинах гідроциліндра РП; $k_{\text{пер}}$ — коефіцієнт витоків; $k_{\text{зв}}$ — коефіцієнт зворотного зв'язку; $k_{\text{д.о.}}$ — коефіцієнт передачі; $k_{\text{пр}}$ — коефіцієнт, що враховує вплив деформації опори кріплення РП на величину неузгодженості на золотнику.

Значення кінематичних коефіцієнтів рульового привода, що розглядаються, наведені в таблиці 1.

Таблиця 1

Параметр	Схема РП	
	Схема "а"	Схема "б"
Коефіцієнт зворотного зв'язку $k_{\text{зв}}$	$l_2/(l_1 + l_2)$	$l_1/(l_1 + l_2)$
Коефіцієнт передачі $k_{\text{пер}}$	1	$-l_2/l_1$
Коефіцієнт $k_{\text{д.о.}}$	0	11

Зробимо оцінку впливу параметрів рульового привода і силової частини бустерної системи керування, в якій він встановлений, на його стійкість і динамічні властивості. Для цього розглянемо лінійну динамічну модель дросельного стілкуючого гідромеханічного привода, яка може бути отримана шляхом лініаризації і спрощення вихідної лінійної динамічної моделі рульового привода, яка описується системою нелінійних диференціальних рівнянь (1)–(5).

У результаті застосування методу гармошичної лініаризації [7] нелінійна залежність сил тертя, прикладених до рульової поверхні літака, від ініціальної зміни координати z може бути записана у вигляді

$$T_{\text{пр}} = h^e \dot{z} + T_{\text{сп}} \text{sign} \dot{z} \approx h^e \dot{z}, \quad (6)$$

де $h^e = f(A_z, \omega)$ — еквівалентний коефіцієнт в'язкого тертя, що залежить від амплітуди A_z і частоти коливань ω координати z .

Аналогічно виконується лініаризація сил тертя у гідродвигуні рульового привода

$$P_{\text{трп}} = k_b (\dot{y} - \dot{u}) + T_{\text{тр}} \text{sign}(\dot{y} - \dot{u}) \approx k_b^e \dot{y}_1, \quad (7)$$

де $k_b^e = \varphi(A_{y_1}, \omega)$ — еквівалентний коефіцієнт в'язкого тертя у гідродвигуні РП; y_1 — y — відносне переміщення штока і циліндра РП.

Для лініаризації складної цепішкої функції витрати рідини через золотниковий розподільник Q ($\varepsilon, p_{\text{дв}}$), яка надходить до тільки вузла рульового привода, розкладемо її у точці $(\varepsilon^*, p_{\text{дв}}^*)$ у ряд Тейлора і обмежимо членами ряду першого порядку малості. Результати лініаризації можна записати у приростах:

$$\Delta Q_{\text{дв}} \approx \left(\frac{\partial Q_{\text{дв}}}{\partial \varepsilon} \right)_{\varepsilon=\varepsilon^*} \cdot \Delta \varepsilon + \left(\frac{\partial Q_{\text{дв}}}{\partial p_{\text{дв}}} \right)_{p_{\text{дв}}=p_{\text{дв}}^*} \cdot \Delta p_{\text{дв}}, \quad (8)$$

Таким чином,

$$Q_{\text{дв}} \approx k_{Q_\varepsilon} \varepsilon + k_{Q_p} p_{\text{дв}}, \quad (9)$$

$$\text{де } k_{Q_\varepsilon} = \frac{\partial Q_{\text{дв}}}{\partial \varepsilon}, \quad k_{Q_p} = \frac{\partial Q_{\text{дв}}}{\partial p_{\text{дв}}}$$

$$\text{при } \varepsilon = \varepsilon^* \text{ і } p_{\text{дв}} = p_{\text{дв}}^*.$$

З урахуванням проведеної лініаризації вихідна нелінійна система диференціальних рівнянь (1)–(5) набуває вигляду

$$\begin{cases} m\ddot{z} + h^e \dot{z} + C_{\text{пр}}(y - z) - R_{\text{зовн}} = C_{\text{пр}}(y - z); \\ m_1 \ddot{y} + k_b^e \dot{y}_1 + C_{\text{пр}}(y - z) = F p_{\text{дв}}; \\ m_2 \ddot{u} - k_b^e \dot{y}_1 + C_0 u = -F p_{\text{дв}}; \\ F \dot{y}_1 + k_c p_{\text{дв}} + k_{\text{вит}} p_{\text{дв}} = k_{Q_\varepsilon} \varepsilon - k_{Q_p} p_{\text{дв}}; \\ \varepsilon = k_{3,3} (k_{\text{пер}} x_{\text{вх}} - y) + k_{\text{д.о.}} u. \end{cases} \quad (10)$$

Система рівнянь (10) є базовою для подальшого аналітичного дослідження динамічних властивостей рульового привода.

Результати дослідження динамічних властивостей рульового привода

При проведенні дослідження динамічних властивостей систем бустерного керування пасажирських і транспортних літаків можливе суттєве зниження по-

рідку системи диференціальних рівнянь (10) за рахунок виключення з розгляду впливу приведеної маси вихідної ланки привода m_1 і приведеної маси конструкції рульового привода m_2 , що пов'язана з опорою його кріплення, зважаючи на те, що для таких літаків мають місце слівні положення $m_1 \ll m$ і $m_2 \ll m$.

Проведені дослідження також показують, що певність позиційного аеродинамічного навантаження $R_{ш} = M_{ш} r / C_{ш} z$, де $M_{ш}$ — аеродинамічний (шарнірний) момент на рульовій поверхні літака, r — радіус присадження вихідної ланки привода до рульової поверхні, впливає тільки на статичну характеристику привода і не впливає на його динамічну характеристику [10, 11]. З огляду на це при дослідженії динамічних властивостей можна розглядати випадок, коли $C_{ш} = 0$.

Оцінка динамічних властивостей рульового привода системи штурвального керування літака може бути зроблена двома способами [9, 10]:

1) за результатами аналізу реакції привода на керуючий сигнал x_{ω} за відсутності або наявності аеродинамічного навантаження;

2) за результатами аналізу реакції привода на збурення з вихіду у випадку затиснутого керування ($x_{\omega} = 0$).

У першому випадку динамічні властивості привода оцінюються за характером переходних процесів у силовому контурі системи штурвального керування літака за ступінчастою зміною вихідного сигналу керування x_{ω} , а також за частотними характеристиками замкнутого і розімкнутого контурів привода при гармонійній зміні сигналу керування (при $x_{\text{вх}} = A_x \sin(\omega t)$, де A_x — амплітуда x_{ω} ; ω — колісна частота).

У другому випадку досліджуються характеристики динамічної жорсткості привода при синусоїdalній зміні характеру навантаження (при $R_{\text{зонн}} = A_R \sin(\omega t)$, де A_R — амплітуда коливань зовнішнього навантаження $R_{\text{зонн}}$) і власні коливання привода при різкому скиданні зовнішнього навантаження.

Проаналізуємо динамічні властивості рульового привода при відпрацюванні ним сигналу керування x_{ω} . Спочатку розглянемо спрощену лініаризовану модель привода, припускаючи

$$R_{\text{зонн}} = 0, C_{\sigma} = \infty, C_{\text{пр}} = \infty$$

і знебажаючи масою ланки і масою циліндра гідроприву рульового привода ($m_1 \approx 0$ і $m_2 \approx 0$).

У цьому випадку

$$\dot{u} - u = 0, y_1 = y = z, h^e + k_v^c = h^{\Sigma}.$$

З урахуванням прийнятих припущення система рівнянь (10) може бути зведена до диференційного рівняння третього степеня

$$\alpha_3 \ddot{z}(t) + \alpha_2 \dot{z}(t) + \alpha_1 z(t) + \alpha_0 x_{\text{вх}}(t) = b_0 x_{\text{вх}}(t), \quad (11)$$

$$\text{де } \alpha_3 = \frac{m}{C_T}; \quad \alpha_2 = \frac{m}{B} + \frac{h^{\Sigma}}{C_T}; \quad \alpha_1 = \frac{C_{ш}}{C_T} + 1;$$

$$\alpha_0 = \frac{C_{ш}}{B} - D; \quad b_0 = Dk_{\text{щер}}; \quad B = \frac{F^2}{k_h^e} — \text{ко-}$$

єфіцієнти жорсткості механічної характеристики привода в околі розрахункової точки; $k_{\text{ш}}^c = k_{Qp} + k_{\text{вих}}$;

$$D = k_v k_{3,3} = \frac{k_{Qp}}{F} k_{3,3} — \text{добротність привода};$$

$$k_v = \frac{k_{Qp}}{F} — \text{коєфіцієнт підсилення привода за швид-} \\ \text{кістю.}$$

При відсутності міжпорожнинних передбігів у гідродвигуті привода

$$k_h^e = k_{Qp} \text{ і } B = \frac{F^2}{k_{Qp}}.$$

Застосувавши до рівняння (11) перетворення Лапласа, маємо

$$(a_3 S^3 - a_2 S^2 - a_1 S + a_0) z(S) = b_0 x_{\text{вх}}(S), \quad (12)$$

де S — оператор Лапласа.

Розглянемо передаточні функції самого привода $W_{\text{РП}}(S)$, його розімкнутого контуру $W_{\text{р.к.}}(S)$ та прямого ланцюга привода $W_{\text{п.л.}}$.

За відсутності аеродинамічного навантаження передаточна функція прямого ланцюга привода дорівнюватиме

$$W_{\text{п.л.}}(S) = \frac{y(S)}{v(S)} = \frac{k_v'}{S(T_k^2 S^2 - 2\xi_k T_k S + 1)}, \quad (13)$$

де $T_k = \sqrt{\frac{m}{C_T(1+b)}} \approx \sqrt{\frac{m}{C_T}} - \frac{1}{\omega_{\text{вл}}}$ — стала часу коливальної ланки привода;

$$\xi_k = \frac{1}{2} \left(\frac{\sqrt{m C_1}}{B \sqrt{1+b}} - \frac{h^{\Sigma}}{\sqrt{m C_T(1+b)}} \right) \approx \\ \approx \frac{1}{2} \left(\frac{\sqrt{m C_1}}{B} + \frac{h^{\Sigma}}{\sqrt{m C_T}} \right) — \text{коєфіцієнт відносного} \\ \text{демпфірування};$$

$$\omega_{\text{вл}} = \sqrt{\frac{C_T}{m}} — \text{предемпфірувана власна частота привода};$$

$b = \frac{h^\Sigma}{B}$ — відносний коефіцієнт в'язкого тертя в силовому контурі системи керування ЛА;

$$k'_v = \frac{k_{Qs}}{F(1+b)} = \frac{k_v}{1-b}.$$

В реальних системах керування літака $b \ll B$, а $b \ll 1$, тому наявність тертя у силовому контурі системи керування ЛА, яке спричиняє розсіювання енергії, призводить до збільшення коефіцієнта відносного демпфірування привода ξ_k і практично не впливає на стату часу коливальної ланки T_k і на коефіцієнт підсилення привода за швидкістю k_v .

Передаточна функція розімкнутого контуру привода, не навантаженого аеродинамічним навантаженням, у розглянутому випадку визначиться як

$$\begin{aligned} W_{p,k}(S) &= W_{\text{н.л.}}(S)k_{3,3} = \\ &= \frac{k_{3,3}}{T_i S (T_k^2 S^2 + 2\xi_k T_k S + 1)}, \end{aligned} \quad (14)$$

де $T_i = \frac{1}{k_v} - \frac{F}{k_{Qs}}$ — стала часу інтегруючої ланки привода.

При замиканні привода жорстким зворотним зв'язком за положенням вихідної ланки його передаточна функція дорівнюватиме

$$\begin{aligned} W_{p,1}(S) &= \frac{y(S)}{x_{\text{вх}}(S)} = \frac{W_{\text{п.л.}}(S)k_{\text{вх}}}{1 - W_{\text{н.л.}}(S)k_{3,3}} = \\ &= \frac{D k_{\text{пер}}}{T_k^2 S^3 + 2\xi_k T_k S^2 - S + D}. \end{aligned} \quad (15)$$

Таким чином, у розглянутому випадку гідромеханічний дросельний слідкуючий рульовий привод може розглядатися у вигляді добутку підсилюваль-

ної, інтегруючої і коливальної ланок, охоплених жорстким зворотним зв'язком за положенням вихідної ланки (рисунок 2).

Передаточна функція рульового привода (15) може бути також записана у вигляді

$$W_{p,1}(S) = \frac{k_{\text{пер}}}{T_3 S^3 + T_2 S^2 + T_1 S + T_0}, \quad (16)$$

$$\text{де } T_3 = \frac{1}{D k_{\text{вх}}} ; \quad T_2 = \frac{1}{D} \left(\frac{m}{B} - \frac{h^\Sigma}{C_T} \right);$$

$$T_1 = \frac{1}{D} \left(1 + \frac{h^\Sigma}{B} \right); \quad T_0 = 1.$$

Відповідно до критерія Гурвіца, умова стійкості такого рульового привода визначиться як

$$T_2 T_1 \geq T_3 T_0 \text{ або } D \leq D_{\text{кр}}, \quad (17)$$

де $D_{\text{кр}}$ — добробутність рульового привода на межі його стійкості.

Для цього випадку

$$D_{\text{кр}} = \left(\frac{C_T}{B} + \frac{h^\Sigma}{m} \right) (1+b) \approx \frac{k_{Qp} + k_{\text{вих}}}{k_c} + \frac{h^\Sigma}{m}. \quad (18)$$

З виразу (18) випливає, що при абсолютній жорсткості опор кріплення привода до конструкції літака і силової проводки керування величина критичної добробутності привода $D_{\text{кр}}$ визначатиметься величиною інерційного навантаження (m), сумарними силами демпфірування у силовій частині бустерної системи керування (h^Σ), жорсткістю гідравлічної пружини у порожнінах гідродвигуна рульового привода (C_T) і коефіцієнтом жорсткості навантажувальної характеристики привода (B) в околі розрахункової точки.

До того ж слід зазначити, що сили демпфірування у силовій частині бустерної системи керування, обумовлені коефіцієнтом h^Σ , при відсутності спе-

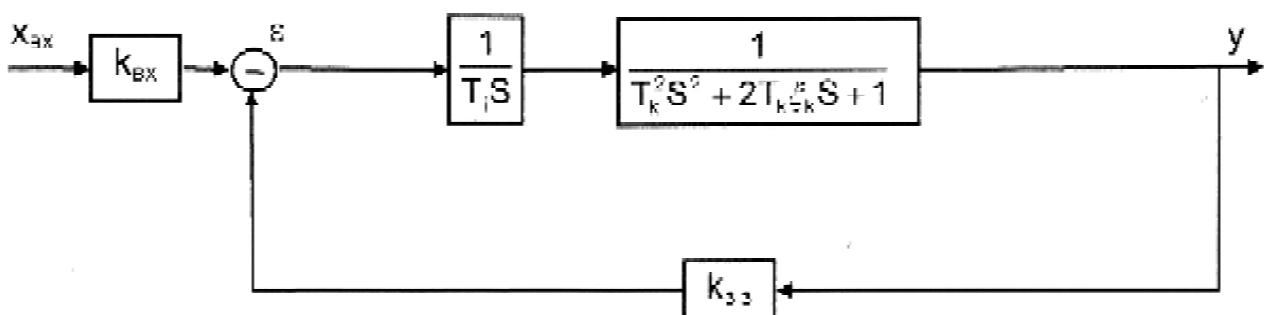


Рисунок 2 — Структурна схема дросельного слідкуючого рульового привода з урахуванням пружності робочої рідини при абсолютній жорсткості опори його кріплення і силової проводки керування та при відсутності аеродинамічного навантаження

цільного демпфера відноємо невеликі і відрізняються нестабільністю, тому що істотно залежать від режиму польоту літака, стану ущільнень у гідродвигуні рульового привода і низки інших експлуатаційних чинників, які не варто розглядати як основні чинники, що забезпечують стійкість привода. У зв'язку з цим для забезпечення стійкості рульового привода прагнуть максимально збільшити величину C_1 , зменшити інерційне навантаження m (наприклад, за рахунок сесіонування рульових поверхонь літака), а також обмежити добробітність привода D за рахунок відповідного добору коефіцієнтів k_{Q_E} і $k_{3,3}$. Якщо цього виявляється недостатньо, то в системі керування додатково встановлюють спеціальний демпфер із сталим коефіцієнтом демпфування k_H або пігучкою вводять міжкорожнинні перекінання у гідродвигуні привода, знижуючи таким коефіцієнтом жорсткості B навантажувальної характеристики рульового привода.

Величина коефіцієнта B , яка обумовлена нахилом дотичної до навантажувальної характеристики привода у розрахунковій точці, істотно залежить від навантаження, що діє на вихідну ланку рульового привода. Збільшення навантаження приводить до зсуву розрахункової точки на навантажувальній характеристиці рульового привода праворуч і до зменшення коефіцієнта B , тобто до збільшення $D_{\text{ср}}$ і збільшення запасів стійкості рульового приводу. Тому найменші запаси стійкості рульовий привод матиме при відсутності навантаження на його вихідній ланці і перебуванні штока привода у середньому відносно його циліндра положенні. Це може привести при певному наборі параметрів привода і силової частини бустерної системи керування, до виникнення автоколивань вихідної ланки рульового привода відносно середнього положення з малими амплітудами (так звана нестійкість "у малому"). Для її попередження звичайно вводиться позитивне перекриття у золотниковому розподільному рульового привода, зменшуючи таким зменшенням коефіцієнта k_{Q_E} у зоні малих неузгодженностей ε .

Перейдемо до розгляду впливу на динамічні властивості і стійкість рульового привода пружності опори його кріплення до конструкції планера літака і пружності силової проводки керування між вихідною ланкою привода і рульовою поверхнею.

Розглянемо передаточні функції привода, припустяючи спочатку, що його вихідна ланка безпосередньо з'єднана з рульовою поверхнею, і пружністю силової проводки керування, у порівнянні з пружністю опори кріплення рульового привода, можна пренебречити. Для цього випадку

$$C_{\text{пр}} \gg C_0; \quad y = z; \quad h^e + k_b^e = h^\Sigma.$$

З урахуванням цих припущень лініаризовану динамічну модель ненавантаженого аеродинамічним навантаженням рульового привода можна описати диференціальним рівнянням третього степеня виду (11) з коефіцієнтами

$$a_3 = \left(\frac{m}{C_0} + \frac{m}{C_1} \right);$$

$$a_2 = \left(\frac{h^\Sigma}{C_0} + \frac{h^\Sigma}{C_1} + \frac{m}{B} + \frac{Dm}{C_0} \frac{k_{d,o}}{k_{3,3}} \right);$$

$$a_1 = \left(1 + \frac{h^\Sigma}{B} + \frac{h^\Sigma D}{C_0} \frac{k_{d,o}}{k_{3,3}} \right);$$

$$a_0 = D; \quad b_0 = Dk_{\text{пер}}.$$

Вигляд передаточних функцій рульового привода, що описуються виразами (13), (14) і (15), не змінюється, а параметри коливальної ланки привода T_k і ζ_k визначаються як

$$T_k \approx \sqrt{\frac{m(C_0 + C_1)}{C_0 C_1}} = \frac{1}{\omega_{\text{в.т}}};$$

$$\zeta_k \approx \frac{1}{2} \left(\sqrt{\frac{m \frac{C_0 C_1}{C_0 + C_1}}{B}} \left(1 + \frac{B}{C_0} \right) + \frac{h^\Sigma}{\sqrt{m \frac{C_0 C_1}{C_0 + C_1}}} \right).$$

Критична добробітність рульового привода з урахуванням пружності опори його кріплення визначається як

$$D_{\text{кр}} = \frac{\frac{h^\Sigma}{C_0} + \frac{h^\Sigma}{C_1} + \frac{m}{B}}{m \left[\frac{1}{C_0} + \frac{1}{C_1} \left(1 - \frac{k_{d,o}}{k_{3,3}} \right) \right]}. \quad (19)$$

Аналіз отриманих передаточних функцій рульового привода, що враховують пружність опори його кріплення, і виразу (18) для критичної добробітності привода $D_{\text{кр}}$ показує, що паявна у реальних системах керування літака пружність опори кріплення рульового привода безпосередньо впливає на його стійкість і динамічну частоту. Ступінь цього впливу залежить від співвідношення жорсткостей C_1 і C_0 , а також від кінематичної схеми привода (від співвідношення $k_{d,o}/k_{3,3}$).

Зменшення жорсткості опори кріплення рульового привода знижує частоту власних коливань $\omega_{\text{в.т}}$ і діромеханічної системи "рульова поверхня—привод—опора кріплення привода" і погіршує стійкість рульового привода (знижає величину $D_{\text{ср}}$) для всіх його

кінематичних схем, за винятком привода, виконаного за схемою з оберненою кінематикою (рисунок 1, б), для якого співвідношення коефіцієнтів більше 1.

Проведені дослідження показують, що для рульового привода, побудованого за схемою (рисунок 1, а), зниження величини C_1 , вкрай позитивно позначається па стійкості привода і його динамічних характеристиках. Тому низка зарубіжних фірм для забезпечення стійкості таких приводів використовують кінематичну компенсацію просідання опори кріплення рульового привода під дією аеродинамічного навантаження [4].

Інший характер впливу на стійкість привода має просідання опори його кріплення при використанні рульового привода з оберненою кінематикою (рисунок 1, б), для якого $\frac{k_{\text{д.о}}}{k_{3,3}} > 1$. У такому приводі де-

формація опори кріплення еквівалентна введенню додаткового від'ємного зворотного зв'язку за навантаженням, що підвищує стійкість привода і поширує його динамічні властивості [1]. Тому така кінематична схема найбільше поширення у СБК вітчизняних літаків. Недоліком такого привода є збільшене просідання його вихідної ланки під дією статичного аеродинамічного навантаження.

Досвід проектування СІІК учасників літаків смузить, що використання рульового привода, побудованих за схемою з оберненою кінематикою, дозволяє при оптимальному виборі параметрів привода і жорсткості опори його кріплення C_1 , забезпечити необхідну стійкість системи керування без застосування спеціальних деміферів в її силовій частині.

Перейдемо до оцінки впливу обмеженої жорсткості силової проводки керування на динамічні властивості привода. Практичний інтерес виникає у випадку одночасного врахування пружності опори кріплення привода, жорсткості гідрравлічної пружини робочої рідини у камерах гідродвигуна рульового привода і обмеженої жорсткості силової проводки керування, при визначені якої звичайно враховується і пружність рульової поверхні літака. Всі ці складові визначають сумарну жорсткість C_Σ пружини гідромеханічної системи "рульова поверхня—привод—опора кріплення привода"

$$\frac{1}{C_\Sigma} = \frac{1}{C_1} + \frac{1}{C_0} + \frac{1}{C_{\text{пр}}}. \quad (20)$$

Робота гідрравлічного дросельного слідкувального привода у цьому випадку, без урахування мас m_1 і m_2 та сил тертя в ущільненнях гідродвигуна і за відсутності позитивного аеродинамічного навантаження, у лінійному наближенні також може бути описана диференціальними рівняннями третього степеня (11), коефіцієнти якого визначаються за формулами:

$$a_3 = \frac{m}{C_\Sigma}; \quad a_2 = \left(\frac{k^\Sigma}{C_\Sigma} + \frac{m}{B} - \frac{Dm}{C_{\text{пр}}} + \frac{Dm k_{\text{д.о}}}{C_0 k_{3,3}} \right);$$

$$a_1 = \left(1 + \frac{h^e}{B} + \frac{h^e D}{C_{\text{пр}}} + \frac{h^e D k_{\text{д.о}}}{C_0 k_{3,3}} \right);$$

$$a_0 = D; \quad b_0 = Dk_{\text{пер}}.$$

У цьому випадку для визначення передаточних функцій рульового привода теж можна користуватися загальними формулами (13), (14) і (15), в яких значення параметрів коливальної ланки привода визначатимуться як

$$T_k \approx \sqrt{\frac{m}{C_\Sigma}} = \frac{1}{\omega_{\text{в.з}}};$$

$$\xi_k = \frac{1}{2} \left[\frac{\sqrt{m C_\Sigma}}{B} \left(1 - \frac{DB}{C_{\text{пр}}} + \frac{DB k_{\text{д.о}}}{C_0 k_{3,3}} \right) + \frac{h^\Sigma}{\sqrt{m C_\Sigma}} \right].$$

Величина критичної добротності привода з урахуванням пружності опори кріплення й обмеженої жорсткості силової проводки керування визначається за формулою

$$D_{\text{кр}} = \frac{\frac{h^e}{C_\Sigma} + \frac{m}{B}}{m \left[\frac{1}{C_1} - \frac{1}{C_0} \left(1 - \frac{k_{\text{д.о}}}{k_{3,3}} \right) \right]}. \quad (21)$$

Передаточна функція розімкнутого контуру рульового привода узагальному вигляду має вигляд:

$$W_{\text{Р.К.}}(S) = \frac{y(S)}{x(S)} = \frac{D \left(\frac{m}{C_\Sigma} S^2 - \frac{h_\Sigma}{C_\Sigma} S + 1 \right)}{S(T_k^2 S^2 + 2T_k \xi_k S + 1)}. \quad (22)$$

Передаточна функція гідромеханічного слідкувального рульового привода, замкнутого зворотним зв'язком за положенням вихідної ланки, дорівнюватиме

$$W_{\text{РП}}(S) = \frac{y(S)}{x_{\text{вх}}(S)} =$$

$$= \frac{Dk_{\text{пер}}}{\frac{m}{C_\Sigma} S^2 + \left(\frac{h^e}{C_\Sigma} - \frac{m}{B} - \frac{Dm}{C_{\text{пр}}} + \frac{Dm k_{\text{д.о}}}{C_0 k_{3,3}} \right) S^2 + S + D}.$$

Динамічні властивості гідромеханічного слідкувального рульового привода прийшлють оцінювати за його частотними характеристиками [1, 7, 9, 10, 13, 14], побудованими з використанням передаточних функцій замкнутого рульового привода $W_{\text{РП}}(S)$ (22) та його

розімкнутого контуру $W_{p,k}(S)$ (22). При цьому залиши стійкості рульового привода за амплітудою ΔL і за фазою γ , а також частота зразу ω_p , визначатимуться за логарифмічними частотними характеристики його розімкнутого контуру (рисунок 3), а параметри резонансу і смуги частот, що прогукає привод, зазвичай визначають за логарифмічними частотними характеристиками замкнутого рульового привода (рисунок 4).

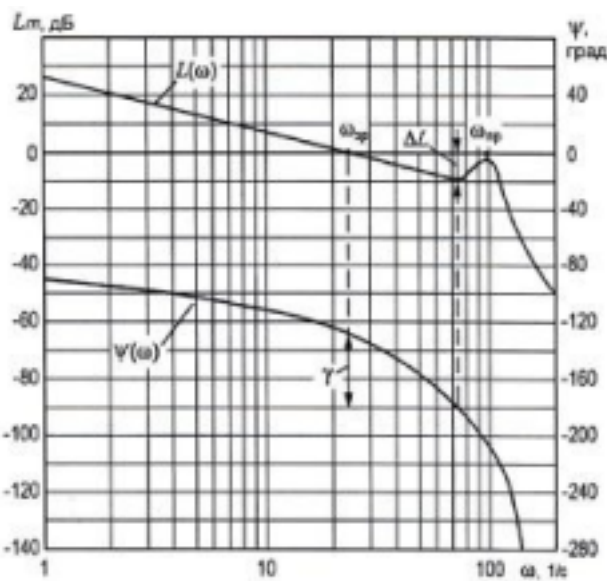


Рисунок 3 — Логарифмічні частотні характеристики розімкнутого контуру рульового привода

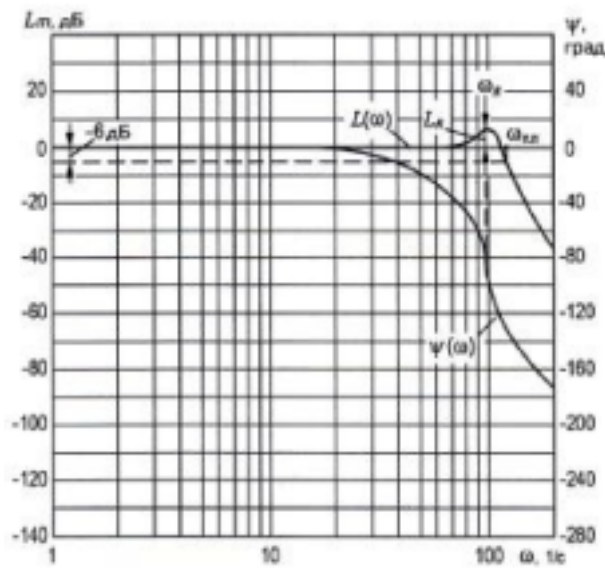


Рисунок 4 — Логарифмічні частотні характеристики гідромеханічного спідкуючого рульового привода

Для рульового привода сучасних літаків величина γ лежить у межах 20–50 град і визначає швидкодію привода. Збільшення добротності привода розширяє

смугу частот, що пропускаються приводом, але зменшує запаси його стійкості.

Аналіз отриманих виразів для передаточних функцій рульового привода і критичної добротності D_c (20) свідчить, що обмежена жорсткість силової проводки керування знижує власну частоту гідромеханічної системи ω_{bl} і дещо збільшує критичну добротність — за рахунок підвищення ефективності демпфіруючих сил на рулі. Зниження C_{bp} негативно по-значається на точності керування положенням рульової поверхні (особливо при великих шаршінських моментах на рулі) внаслідок того, що система “привод—рульова поверхня” очолена зворотним зв’язком за положенням вихідної ланки привода, а не за положенням рульової поверхні. Тому при проектуванні бустерної системи керування рекомендується максимально збільшувати жорсткість силової проводки або встановлювати привод безпосередньо біля рульової поверхні.

На рисунку 5 побудовано логарифмічні частотні характеристики розімкнутого контуру рульового привода різних кінематичних схем, які мають однакову добротність D і відносно велике однакове інерційне навантаження на вихідній ланці при жорсткості опори кріплення $C_b = 10^5 \text{ Н/мм}$.

Аналіз даних логарифмічних характеристик показує, що рульові приводи, побудовані за схемою з оберненою кінематикою (рисунок 1, б), мають суттєво більші запаси стійкості за амплітудою ΔL по відношенню до рульових приводів із золотниковими розподільниками у рухомому корпусі, а запаси стійкості за фазою γ практично однакові для різних рульових приводів.

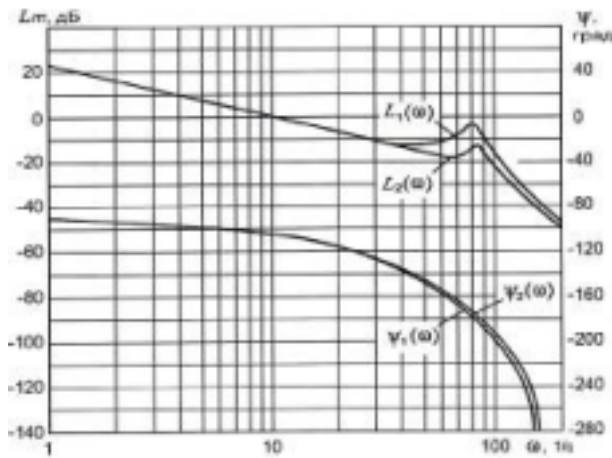


Рисунок 5 — Логарифмічні частотні характеристики розімкнутого контуру рульових приводів, побудованих за різними кінематичними схемами

Результати дослідження динамікої жорсткості рульових приводів, побудованих за різними кінематичними схемами

Характеристики динамікої жорсткості привода і його профілаторії властивості у загальному вигляді розглянуто в роботах [4, 10].

Розглянемо зв'язок між характеристиками динамічної жорсткості рульового привода і його протифлатерніми властивостями.

Динамічна жорсткість рульового привода $G(S)$ визначається відношенням зображення за Лапласом силового збурення $R(S)$, що діє на вихідну ланку привода, до зображення переміщення точки прикладення сили $y(S)$, яке викликане цим силовим збуренням

$$G(S) = \frac{R(S)}{Y(S)}, \quad \text{де } S \text{ — оператор Лапласа.}$$

Рульовий привод, який встановлено на опорах кріплення обмеженої жорсткості, з елементом пружної системи “рульова поверхня—рульовий привод—опора кріплення привода”, що має внутрішнє джерело енергії — живлення від гіdraulічної системи автомобіля.

Протифлатерні властивості рульового привода залежать від його здатності до дисипації енергії крутілих коливань рульової поверхні навколо осі її обертання.

Робота, що поглинається пружиною, яка коливається під впливом зовнішнього синусоїдального піважтаження, визначається добутком амплітуд сили і переміщення на $\sin \varphi$, як φ — фазовий зсув між збурюючою силою і переміщенням точки її прикладення. Визната робота позитивна, якщо $\varphi > 0$ (сила випереджає за фазою переміщення), що відповідає дисипації енергії у системі. Пружина система у цьому випадку називається пасивною. Якщо ж $\varphi < 0$, то пружина система виконує роботу проти збурюючої сили і називається активною. Останнє можливо лише за наявності у системі внутрішнього джерела енергії. Якщо $\varphi = 0$, то пружина система має властивість ідеальної пружини, акумулюючи без втрат енергію прикладеної силової дії.

Згідно з аналізом динамічної моделі рульового привода, яка показана на рисунку 1, можливо отримати спрощений аналітичний вираз для динамічної жорсткості привода

$$G(S) = G_0 \frac{T_1 S + 1}{T_2 S + 1} \approx G_0 \frac{TS + 1}{\frac{G_0}{G_\infty} TS - 1}, \quad (24)$$

де G_0 — статична жорсткість привода; T_1 і T_2 — константи, що мають розмірність часу; $T = 1/D$ — стала часу привода (D — добробутність привода); G_∞ — амплітудна складова динамічної жорсткості привода при збурюючій частоті сили $\omega \rightarrow \infty$.

Для рульових приводів розглянутих кінематичних схем значення G_∞ визначається жорсткістю опори кріплення C_o , приведеною жорсткістю силової проводки керування C_{op} і гіdraulічною жорсткістю виконавчого гідродвигуна привода C_r , яка враховує пружність робочої рідини у порожніях гідроциліндрах, і не залежить від кінематики рульового привода

$$G_\infty = \frac{1}{\frac{1}{C_o} + \frac{1}{C_{op}} - \frac{1}{C_r}} = C_\Sigma. \quad (25)$$

З іншого боку, статична жорсткість рульового привода істотно залежить від його кінематичної схеми і може бути приблизно визната як

$$G_0 \approx \frac{\frac{1}{k_{Op} k_{vit} - \frac{k_{4,0}}{k_{3,3}} \frac{1}{C_o} + \frac{1}{C_{op}}}}{k_{Op} k_{3,3} F} - \frac{\frac{1}{B + \frac{k_{4,0}}{k_{4,3}} \frac{1}{C_o} + \frac{1}{C_{op}}}}{B + \frac{k_{4,0}}{k_{4,3}} \frac{1}{C_o} + \frac{1}{C_{op}}}. \quad (26)$$

Аналіз виразу (26) показує, що $\lim_{\omega \rightarrow \infty} G(j\omega) = C_\Sigma$, тобто рульовий привод є ідеальною пружиною в області великих частот.

Властивості привода як пружної системи залежать від співвідношення сталих часу T_1 і T_2 . Якщо $T_1 > T_2$, привод має демпфіруючі властивості, при $T_1 = T_2$ — властивості ідеальної пружини, а при $T_1 < T_2$ — властивості активної системи, тобто такої, яка вносить у пружину систему “рульова поверхня—рульовий привод—опора кріплення привода” додаткову енергію.

З точки зору демпфірування піважтажів коливань, необхідно забезпечити перше співвідношення ($T_1 > T_2$), що завжди виконується для абсолютно жорсткого привода (рідина є нестисливою, місце кріплення — непружним), коли $C_\Sigma \rightarrow \infty$; у цьому випадку $T_2 \rightarrow 0$.

Практично досить виконувати умову $C_\Sigma > G_0$ за допомогою зменшення коефіцієнта B (використання проточного золотника або введення міжпорожнинних перетікань у гідродвигуні привода), оскільки істотно підвищити C_Σ звичайно не вдається.

Для аналітичного визначення величини фазового зсуву між зовнішнім піважтаженням $R(S)$ і переміщенням вихідної ланки привода $y(S)$ можуть бути використані вирази [11]:

$$\varphi(\omega) = -\arctg \frac{G_0}{G_\infty} T \omega + \arctg T \omega \quad \text{при } G_c > 0$$

або

$$\varphi(\omega) = -180^\circ - \arctg \frac{G_0}{G_\infty} T \omega + \arctg T \omega \quad \text{при } G_c < 0.$$

Послідовно свідчать, що па характеристики динамічної жорсткості гідромеханічного рульового привода істотно впливає його кінематична схема [2]. Це пов'язано з тим, що при статичному і динамічному піважтаженні вихідної ланки деформація опори кріплення через важільну систему зворотного зв'язку або імпульснім пляхом, передається на золотник, створюючи відповідну додаткову непогодженість Δe яка

відшрапцовується приводом. У залежності від кінематичної схеми привода цей вплив є еквівалентним додатковому позитивному або від'ємному зворотному зв'язку за навантаженням і істотно впливає на характеристики динамічної жорсткості привода.

На рисунку 6 представлена типові логарифмічні частотні характеристики динамічної жорсткості рульових приводів. Кінематичні схеми яких наведено на рисунку 1.

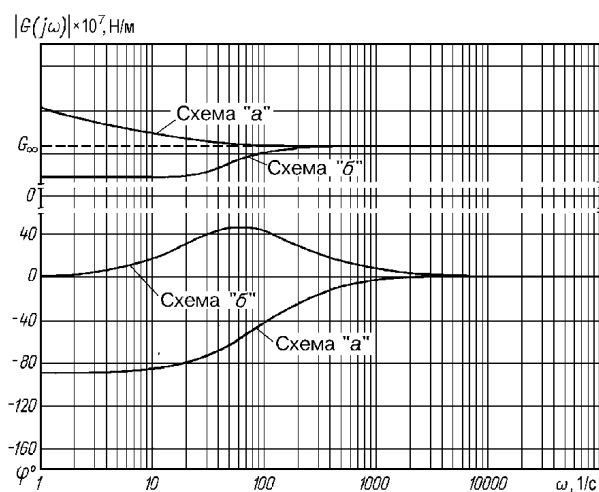


Рисунок 6 — Типові логарифмічні частотні характеристики динамічної жорсткості рульових приводів різних кінематичних схем

З аналізу цих характеристик випливає, що найбільшу стійкість і найкращі протифлатерні властивості мають рульові приводи, виконані за схемою з оберненою кінематикою, що обумовлено тим, що такі приводи мають фазочастотну характеристику динамічної жорсткості в області позитивних значень, фазового зсуву між зовнішнім навантаженням $R(S)$ і переміщенням вихідної ланки привода $u(S)$. Вони можуть бути використані для демпфування флатерних коливань рульової поверхні без застосування спеціальних коригуючих зв'язків. За такою схемою виконано рульовий привод РП-56 системи керування літака Ту-154, а також інші приводи, які використовують у системах керування рулями сучасних літаків.

Результати дослідження дозволяють зробити висновок, що існує однозначний зв'язок між характеристиками динамічної жорсткості рульового привода і його стійкістю. Рульовий привод буде стійким, якщо його статична жорсткість $G_0 > 0$ і виконується умова

$$\frac{G_\infty}{G_0} > 1 - \frac{h^e}{mD}, \quad (27)$$

де h^e — сквіваційний коефіцієнт в'язкого тертя у силовій частині бустерної системи керування; m — приведена маса рульової поверхні, D — добротність привода.

Аналіз умови стійкості (25) підтверджує зроблені раніше висновок про підвищенну стійкості рульового привода з оберненою кінематикою. Їх застосування істотно спрощує вирішення проблеми стійкості бустерної системи керування літака за наявності великих інерційних навантажень і малого власного демпфірування рульової поверхні.

Таким чином, можна зробити висновок, що для забезпечення протифлатерних властивостей бустерної системи керування необхідно мати максимально можливу жорсткість силового контуру рульової поверхні — рульовий привод + опора кріплення привода. Реалізації цієї умові відповідає конструкція силового контуру з відносно великою статичною жорсткістю G_0 , але це створює проблеми з забезпеченням стійкості рульового привода при великих інерційних навантаженнях на його вихідній ланці. Тому в цьому випадку рекомендується [5] використовувати у силовому контурі бустерної системи керування рульові приводи з оберненою кінематикою (рисунок 1, б), а також максимально підвищити жорсткість G_0 гідрравлічної пружини привода (за рахунок максимального зменшення "мертвих" об'ємів рідини у його порожнінах та інших конструктивних доробок).

Висновки

1. На основі аналізу лініаризованої моделі рульового слідкуючого привода системи керування літака отримані вирази для критичної добробутності привода, які дозволяють оцілити стійкість рульового привода з урахуванням інерційного навантаження на вихідній ланці привода, сил демпфірування у силовому контурі системи бустерного керування та реальних жорсткостей опори кріплення привода, силової проводки керування і гідрравлічної пружини робочої рідини у камерах гідродвигуна привода.

2. Для комплексного вирішення проблеми стійкості рульового привода і забезпечення його протифлатерних властивостей рекомендується використати у силовому контурі бустерної системи керування літака рульового привода із оберненою кінематикою (рисунок 1, б) та максимально підвищити жорсткість гідрравлічної пружини привода (за рахунок максимального зменшення "мертвих" об'ємів рідини у його порожнінах та інших конструктивних доробок).

3. Для експериментальної оцінки стійкості рульового привода та його протифлатерних властивостей рекомендується використовувати логарифмічні частотні характеристики динамічної жорсткості привода.

Література

1. Абрамов, Е.І. Гідрравлічні слідкуючі приводи систем керування літальніх апаратів. Навчальний посібник / Е.І. Абрамов, Г.Й. Зайончковський. — К.: КМУЦА, 2000. — 224 с.

2. Абрамов, С.І. Проектування систем керування літальніх апаратів. Системи керування літака з гідромеханічним приводом: Навчальний посібник / С.І. Абрамов. — К.: КМУЦА, 2000. — 224 с.

Абрамов, Г.Й. Зайончковський. — К.: НАУ, 2005. — 188 с.

3. Ботаров, В.Я. Системы управления самолетов / В.Я.Ботаров, И.С.Шумилов. Машиностроение: Энциклопедия. — М.: Машиностроение, 2004. Том IV-21. Книга 2. Самолеты и вертолеты. Проектирование, конструкции и системы самолетов и вертолетов. — 754 с.

4. Гамынин, Н.С. Гидравлические приводы летательных аппаратов: учебник для авиационных специальностей вузов / Н.С. Гамынин, В.И. Карев, А.М. Потапов, А.М. Селиванов; Под общ. ред. В.И. Карева. — 2-е изд., перераб. и доп. — М.: Машиностроение, 1992. — 368 с.

5. Шумилов, И.С. Системы управления рулями самолетов / И.С. Шумилов. — М.: МИТУ, 2009. — 469 с.

6. Нейман, В.Г. Гидроприводы авиационных систем управления. — М.: Машиностроение, 1973. — 200 с.

7. Инженерные исследования гидроприводов летательных аппаратов / Под ред. Д.Н.Попова. — М.: Машиностроение, 1978. — 142 с.

8. Зайончковський, Г.Й. Оцінка динаміческих властивостей гідромеханіческих приводів по характеристикам їх динаміческої жесткості // Автоматизація виробничих професій. — 2004. — №2. — С. 148—153.

9. Зайончковський, Г.Й. Оцінка стійкості і прогіфлтерних властивостей гідромеханічних рульових слідкуючих приводів // Промислова гідравліка і пневматика. — 2006. — №1(11). — С. 53—58.

10. Проектирование слежящих гидравлических приводов летательных аппаратов / А.И.Баженов, Н.С.Гамынин, В.И.Карев и др.; Под ред. Н.С.Гамынина. — М.: Машиностроение, 1981. — 312 с.

11. Оболенский, Ю.Г. Введение в проектирование систем авиационных рулевых приводов / Ю.Г. Оболенский, С.А. Ермаков, Г.В. Сухоруков. — М.: Изд-во ГУП г. Москвы "Окружная газета ЮЗАО", 2011. — 344 с.

12. Wang Zhanlin. Airplane Fluid Drive and Servocontrol / Wang Zhanlin, Li Peizi. — China National Defense Industry Press, 1980. — 530 p.

13. Ермаков, С.А. Проектирование гидроприводов летательных аппаратов / В кн. С.А. Ермаков. Проектирование гидравлических систем машин. — М.: Машиностроение, 1992. — С. 12—19.

14. Полковников, В.А. Электрические, гидравлические и пневматические аппараты и их предельные динамические возможности: учебник / В.А. Полковников. — М.: МАИ, 2002. — 452 с.

References

1. Abramov, Ye.I. Hidravlichni slidkuyuchi privody system keruvannya litalnuch aparativ. Navechalnyi posibnyk / Ye.I. Abramov, G.I. Zaionchkovskyi. — K.: KMUTSA, 2000. — 224 s.

2. Abramov, Ye.I. Proektuvannya system keruvannya litalnuch aparativ. Systemy keruvannya litaka z hidromekhanichnym pryvodom: Navechalnyi posibnyk / Ye.I. Abramov, G.I. Zaionchkovskyi. — K.: NAU, 2005. — 188 s.

3. Bocharov, V.Ya. Sistemy upravleniya samoletov / V.Ya. Bocharov, I.S. Shumilov. Entsiklopediya "Mashinostroenie". — M.: Tom IV-21. Kniha 2. "Samolety i vertolyety. Proektirovanie, konstruktsii i sistemy samoletov i vertolyetov", 2004. — 754 s.

4. Hamynin, N.S. Hidravlicheskie privody letatelnykh apparatov: uchebnik dlya aviationsionnykh buzov / N.S. Hamynin, V.I. Kariev, A.M. Potapov, A.M. Selivanov; Pod red. B.I. Karueva. — 2-e izd., pererab. i dop. — M.: Mashinostroenie, 1992. — 368 s.

5. Shumilov, I.S. Sistemy upravleniya pulyami samoletov / I.S. Shumilov I.S. Shumilov. M.: MIITU im. N.F. Baumana, 2009. — 469 s.

6. Neyman, V.H. Hidroprivody aviationsionnykh sistem upravleniya. — M.: Mashinostroenie, 1973. — 200 s.

7. Inzhenernye issledovaniyz hidroprivodov letatelnykh apparatov. Pod red. D.N.Popova. — M.: Mashinostroenie, 1978. — 142 s.

8. Zaionchkovskyi, G.I. Otsinka dinamicheakikh svoystv hidromekhanicheskikh sledyschikh privodov po kharakteristikam ikh dinamicheskoy zhoskosti // avtomatizatsiya vutobnichikh profesiy, 2004, №2, — S. 148-153.

9. Zaionchkovskyi, G.I. Otsinka stiykosti I protuflaternykh vlastuvostey hidromekhanicheskikh rulevukh slidkuyuchikh privodiv // Promislova hidravlika i pneumatika, №1 (11), 2006. — S. 53-58.

10. Proektirovanie sledyschikh privodov le-tatelnukh apparatov / A.I. Bazhenov, N.S. Hamynin, V.I.Karev i dr.; Pod red. N.S. Hamynina. — M.: Mashinostroenie, 1981. — 312 s.

11. Obolebskyi, Yu. H. Vvedenie v proektiro-vanie system aviatsionnykh rulevukh privodov / Yu.H. Obolenskyi, S.F. Ermakov, II.V. Sukhorukov. — M.: Izd-vo IUP h. Moskvy "Okryzhnaya gazeta YUZAO", 2011.— 344 s.

12. Wang Zhanlin, Airplane Fluid Drive and Servocontrol / Wang Zhanlin, Li Peizi. — China National Defense Industry Press, 1980. — 530 p.

13. Ermakov, S.A. Proektirovanie hidro-privodov letatelnykh apparatov / V kn. S.A. Ermakov. Proektirovanie hidravlicheskikh system mashin. — M.: Mashinostroenie, 1992. — S. 12—19.

14. Polkovnikov, V.A. Elektricheskie, hidravlicheskie i pnevmaticheskie apparaty i ikh predelnye dinamicheskie voznozhnosti: uchebnik / V.A. Polkovnikov. — M.: MAI, 2002. — 452 s.

Падійшила 20.05.2013 року